

Документ подписан простой электронной подписью

Информация о владельце:

ФИО: Локтионова Оксана Геннадьевна

Должность: проректор по учебной работе

Дата подписания: 28.01.2022 10:51:41

Уникальный программный ключ:

0b817ca911e6668abb13a5d426d39e5f1c11eabbf73e943df4a4851fda56d089

1

МИНОБРАЗОВАНИЯ РОССИИ

Федеральное государственное бюджетное образовательное учреждение высшего профессионального образования «Юго-Западный государственный университет» (ЮЗГУ)

Кафедра теоретической механики и мехатроники

УТВЕРЖДАЮ

Первый проректор –

проректор по учебной работе

Е.А. Кудряшов



« 28 » Января 2012 г.

Лабораторная работа №3 АНАЛИЗ ТОЧНОСТИ СИСТЕМ АВТОМАТИЧЕСКОГО УПРАВЛЕНИЯ

Методические указания к выполнению лабораторной работы по дисциплине «Теория автоматического управления» для студентов специальности 220401.65 Мехатроника; направлений 220200.62 Автоматизация и управление и 221000.62 Мехатроника и робототехника

Курск 2011

УДК 621.(076.1)

Составители: Лушников Б.В., Яцун С.Ф.

Рецензент

Кандидат технических наук, доцент *В.Я.Мищенко*

Анализ точности систем автоматического управления: методические указания к выполнению лабораторной работы / Юго-Зап. гос. ун-т; сост.: Б.В. Лушников, С.Ф.Яцун; Курск, 2011. 19 с., ил. 19, табл. 5. Библиогр.: с.19.

Методические указания содержат краткие теоретические сведения из курса теории автоматического управления, необходимые для выполнения лабораторной работы, а также иллюстрированные примеры выполнения, варианты заданий и контрольные вопросы для самопроверки.

Предназначены для студентов направлений 220200.62 Автоматизация и управление, 221000.62 Мехатроника и робототехника и для студентов специальности 220401.65 Мехатроника всех форм обучения.

Текст печатается в авторской редакции

Подписано в печать . Формат 60x84 1/16 .Усл.печ.л. .

Уч.-изд.л. .Тираж 20 экз. Заказ .Бесплатно.

Юго-Западный государственный университет.

305040 г. Курск, ул. 50 лет Октября, 94

Лабораторная работа №3

АНАЛИЗ ТОЧНОСТИ СИСТЕМ АВТОМАТИЧЕСКОГО УПРАВЛЕНИЯ

Цель работы: исследование точности систем автоматического регулирования в различных типовых режимах.

Объект исследования: линейная система автоматического управления.

Аппаратные средства: виртуальная лаборатория на ЭВМ IBM PC, программный пакет «MATLAB».

Краткие теоретические сведения

Точность работы любой системы автоматического управления наиболее полно характеризуется мгновенным значением *ошибки рассогласования* $\varepsilon(t)$, равной разности между заданной $g(t)$ и действительной $y(t)$ значениями регулируемой переменной в соответствии с уравнением

$$\varepsilon(t) = g(t) - y(t). \quad (1)$$

При этом значение $\varepsilon(t)$ оценивается при типовых входных воздействиях: постоянном, линейно или квадратично нарастающем.

Для характеристики точностных свойств систем управления используется понятие установившейся ошибки слежения. Установившаяся ошибка $\varepsilon_y(t)$, представляет собой функцию времени, удовлетворяющую условию

$$\lim_{t \rightarrow \infty} [\varepsilon(t) - \varepsilon_y(t)] = 0 \quad (2)$$

для любых начальных условий и заданного воздействия, т. е. она характеризует ошибку слежения, установившуюся после завершения переходного процесса. Предельное значение установившейся ошибки определяется выражением:

$$\varepsilon = \lim_{t \rightarrow \infty} \varepsilon(t) \quad (3)$$

Величина предельного значения установившейся ошибки при типовом воздействии (табл. 1) наиболее просто может быть рассчитана, если использовать передаточную функцию замкнутой системы по ошибке рассогласования:

$$\Phi_\varepsilon(p) = \frac{E(p)}{G(p)} = \frac{1}{1 + W(p)}, \quad (4)$$

где $E(p)$ и $G(p)$ – соответственно изображения величины рассогласования и задающего воздействия; $W(p)$ – передаточная функция разомкнутой системы, включающая в себя передаточные функции объекта регулирования $W_0(p)$ и регулятора $R(p)$ (рис. 1).

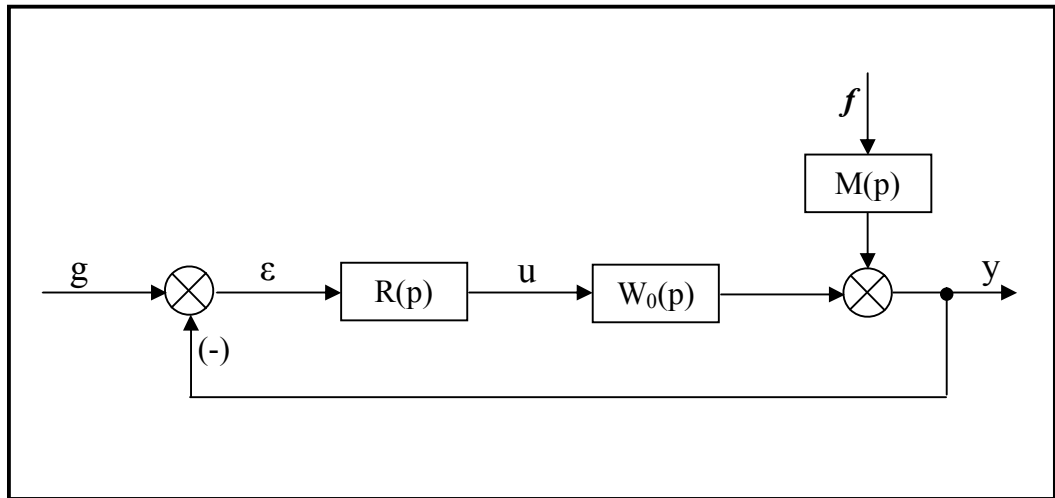


Рис.1 Система автоматического управления:

u – управление; f – возмущающее воздействие; $M(p)$ – передаточная функция для введения в систему возмущения

Значение установившейся ошибки определяется согласно теоремы о конечном значении:

$$\varepsilon_y = \lim_{p \rightarrow 0} p \cdot \Phi_\varepsilon(p) \cdot G(p) \quad (5)$$

Разложим $\Phi_\varepsilon(p)$ в ряд Тейлора в окрестности точки $p=0$

$$\Phi_\varepsilon(p) = C_0 + C_1 p + \frac{c_2}{2!} p^2 + \frac{c_3}{3!} p^3 + \dots, \quad (6)$$

где

$$c_i = \left[\frac{d^i}{dp^i} \Phi_\varepsilon(p) \right]_{p=0}; i = 0, 1, 2, \dots$$

Подставляя (6) в (5) и переходя во временную область, получаем выражение установившейся ошибки при произвольном входном воздействии

$$\varepsilon_y(t) = c_0 g(t) + c_1 \frac{d}{dt} g(t) + \frac{c_2}{2!} \frac{d^2}{dt^2} g(t) + \frac{c_3}{3!} \frac{d^3}{dt^3} g(t) + \dots \quad (7)$$

Здесь постоянные c_i носят название *коэффициентов ошибок*. Если $g(t)$ изменяется *достаточно медленно*, то для приближенной оценки $\varepsilon_y(t)$ можно использовать конечное число членов ряда (7).

Точность работы системы связана с *порядком астатизма*. Система называется *статической*, если она имеет нулевой порядок астатизма, т.е. в выражении (7) $c_0 \neq 0$. В общем случае, если система имеет k -й порядок астатизма, то $c_i = 0$ для всех $0 \leq i < k$ и $c_k \neq 0$.

Таблица 1

Типовые задающие воздействия

<i>Изображение типового задающего воздействия</i>	<i>Постоянное $g(t) = A$</i>	<i>Линейно нарастающее $g(t) = V \cdot t$</i>	<i>Квадратично нарастающее $g(t) = \frac{at^2}{2}$</i>
$G(p)$	$\frac{A}{P}$	$\frac{V}{P^2}$	$\frac{a}{p^3}$

Порядок астатизма системы управления устанавливается на основе анализа структурных свойств схемы. Так, система (рис.1) является статической, т.е. она имеет нулевой порядок астатизма, если выполняется условие

$$\lim_{p \rightarrow 0} W(p) = K < \infty \quad (8)$$

где K – коэффициент усиления разомкнутой системы.

Для статической системы при постоянном входном воздействии $g(t) = A$ имеем:

$$\varepsilon = \lim_{p \rightarrow 0} p \cdot \frac{1}{1 + W(p)} \cdot \frac{A}{P} = \frac{A}{1 + K} \quad (9)$$

Последнее выражение означает, что постоянное входное воздействие обрабатывается с установившейся ошибкой, которую принято называть статической ошибкой. Для уменьшения статической ошибки необходимо увеличивать коэффициент усиления разомкнутой системы K .

При линейно нарастающем задающем входном воздействии $g(t) = V \cdot t$ имеем:

$$\varepsilon = \lim_{p \rightarrow 0} p \cdot \frac{1}{1 + W(p)} \cdot \frac{V}{p^2} = \infty \quad (10)$$

Из полученного выражения следует, что линейно нарастающее воздействие обрабатывается статической системой с неограниченно растущей ошибкой.

Система автоматического управления (рис. 1) является астатической, если

$$\lim_{p \rightarrow 0} W(p) = \infty \quad (11)$$

и передаточная функция разомкнутой системы $W(p)$ может быть представлена в виде

$$W^*(p) = \frac{1}{p^r} \cdot W(p), \quad (12)$$

где $W(p)$ - передаточная функция статической системы, для которой выполняется условие (8);

r – порядок астатизма системы.

Для астатической системы первого порядка при постоянном задающем воздействии $g(t) = A$ имеем:

$$\varepsilon = \lim_{p \rightarrow 0} p \cdot \frac{1}{1 + \frac{W(p)}{P}} \cdot \frac{A}{P} = 0 \quad (13)$$

При линейно нарастающем задающем воздействии $g(t) = V \cdot t$

$$\varepsilon = \lim_{p \rightarrow 0} p \cdot \frac{1}{1 + \frac{W(p)}{P}} \cdot \frac{V}{p^2} = \lim_{p \rightarrow 0} \frac{P}{P + K} \cdot \frac{V}{P} = \frac{V}{K} \quad (14)$$

Установившиеся ошибки автоматического управления различного астатизма при типовых задающих воздействиях приведены в таблице 2.

Таблица 2

Установившиеся ошибки систем

<i>Порядок астатизма</i>	$g(t) = A$	$g(t) = V \cdot t$	$g(t) = \frac{at^2}{2}$
0	$\frac{A}{1 + K}$	∞	∞
1	0	$\frac{V}{K}$	∞
2	0	0	$\frac{a}{K}$

Аналогичным образом может быть введено понятие порядка астатизма по возмущающему воздействию. При этом следует отметить, что порядок астатизма по возмущающему воздействию не соответствует порядку астатизма по задающему воздействию.

В качестве примера рассмотрим задачу стабилизации величины $y(t)$ системы, представленной на рис. 1.

На основе структурной схемы системы получаем при $g(t) = 0$:

$$y = W_0(p) \cdot R(p) \cdot (-y) + M(p)F \quad (15)$$

где Y , F – соответственно изображения регулируемой величины и возмущающего воздействия.

Так как $W_0(p)R(p)=W(p)$, можно определить передаточную функцию замкнутой системы по возмущающему воздействию:

$$\Phi_f(p) = \frac{y}{F} = \frac{M(p)}{1 + W(p)} \quad (16)$$

При единичной отрицательной обратной связи и при $g(t)=0$ имеем - $Y=E$, тогда передаточная функция замкнутой системы для ошибки по возмущающему воздействию будет иметь тот же вид, что и для регулируемой величины, т. е.

$$\Phi_{\varepsilon f}(p) = \frac{E}{F} = -\Phi_f(p) \quad (17)$$

Таким образом, возмущающее воздействие f дает статическую ошибку

$$\varepsilon = \lim_{p \rightarrow 0} \left[-p \frac{M(p)}{1 + W(p)} \cdot F \right] = -\frac{A}{1 + K} \quad (18)$$

где $M(p)=1$; $F = \frac{A}{p}$; $\lim_{p \rightarrow 0} W(p) = K$

Порядок выполнения лабораторной работы

Параметры системы с нулевым порядком астатизма.

$W_0(p)$	$g=A$	$g=V \cdot t$
$\frac{3}{2,5p+1}$	2	$2t$

Параметры астатической системы.

$W_0(p)$	$g = at^2/2$
$\frac{3}{2,5p+1}$	$0,5t^2$

Параметры систем с возмущением.

$M(p)$	0,5
f	2

1. Исследование системы с астатизмом нулевого порядка. $R(p)=K$

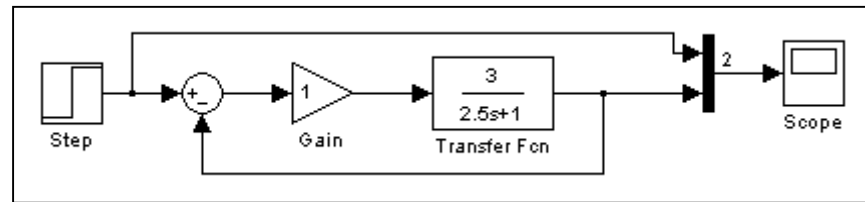


Рис.2 Структурная схема системы

Получим кривые переходного процесса для трех значений $K (K=1, 5, 10)$ при подаче на вход системы сигнала $g(t)=A$ и определим предельные значения установившейся ошибки.

а) $K=1$.

Значение ошибки определяется экспериментально по графикам характеристик на осциллографе как разность между установившимся выходным сигналом и входным сигналом, и подтверждается теоретически по формулам, приведённым в пункте «Краткие теоретические сведения».

Найдём ошибку:

- экспериментально: $\varepsilon = 0,5$ (рис.3);

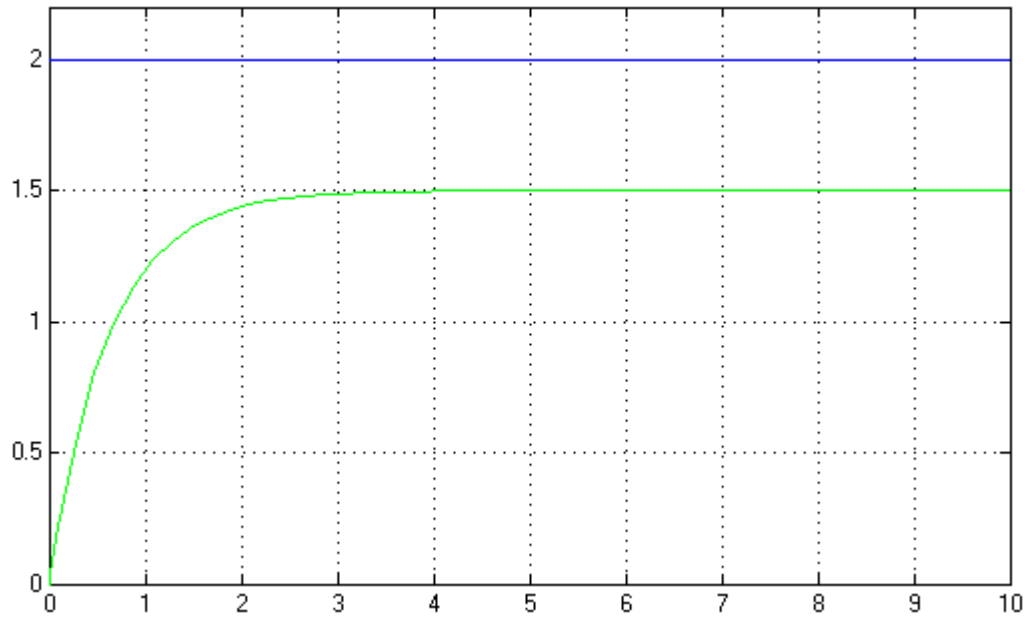
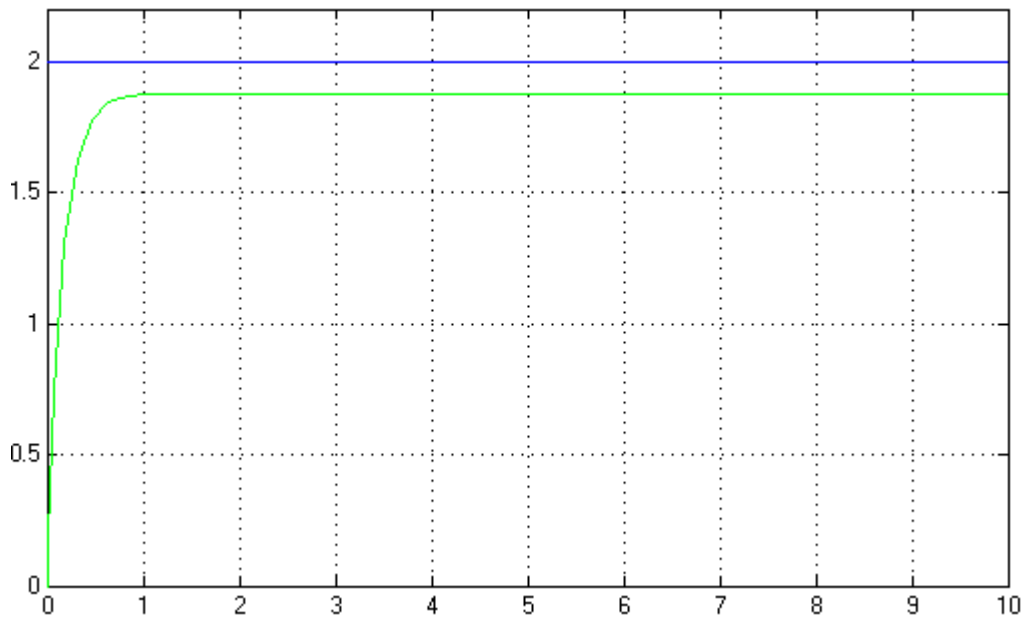
- теоретически: $\varepsilon = \lim_{p \rightarrow 0} p \cdot \frac{1}{1+W(p)} \cdot \frac{A}{p} = \lim_{p \rightarrow 0} \frac{A}{1 + \frac{3}{2,5 \cdot p + 1} \cdot k} = \frac{2}{4} = 0,5$ (формула 9);

б) $K=5$.

Значение ошибки:

- экспериментально: $\varepsilon = 0,125$;

- теоретически: $\varepsilon = \lim_{p \rightarrow 0} p \cdot \frac{1}{1+W(p)} \cdot \frac{A}{p} = \lim_{p \rightarrow 0} \frac{A}{1 + \frac{3}{2,5 \cdot p + 1} \cdot 5} = \frac{2}{16} = 0,125$;

Рис.3 Характеристики системы при $K=1$ Рис.4 Характеристики системы при $K=5$

в) $K=10$.

Значение ошибки:

- экспериментально: $\varepsilon = 0,0645$;

- теоретически: $\varepsilon = \lim_{p \rightarrow 0} p \cdot \frac{1}{1+W(p)} \cdot \frac{A}{P} = \lim_{p \rightarrow 0} \frac{A}{1 + \frac{3}{2,5 \cdot p + 1} \cdot 10} = \frac{2}{31} = 0,0645$.

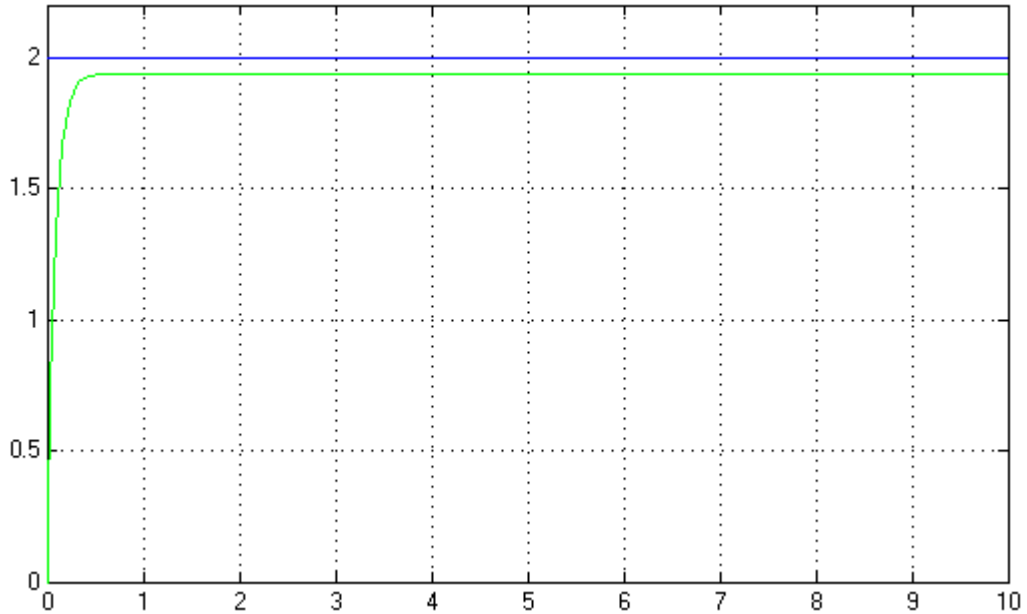


Рис.5 Характеристики системы при $K=10$

Получим кривые переходного процесса для трех значений $K (K=1, 5, 10)$ при подаче на вход системы сигнала $g(t)=V \cdot t$ и определим предельные значения установившейся ошибки.

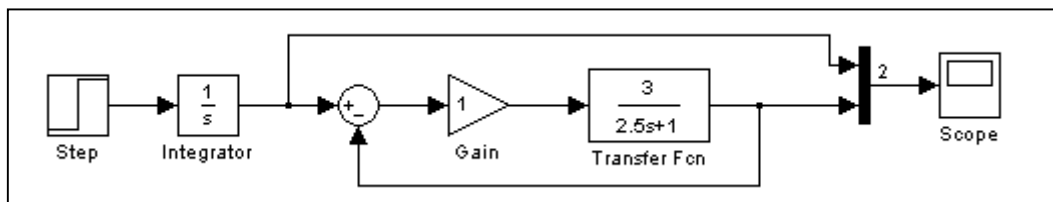


Рис.6 Структурная схема системы с астатизмом нулевого порядка и задающим воздействием $g(t)=Vt$

$$\left. \begin{array}{l} \text{а) } K=1. \\ \text{б) } K=5. \\ \text{в) } K=10. \end{array} \right\} \varepsilon = \lim_{p \rightarrow 0} p \cdot \frac{1}{1+W(p)} \cdot \frac{V}{p^2} = \infty \text{ (как и указано в таблице 2).}$$

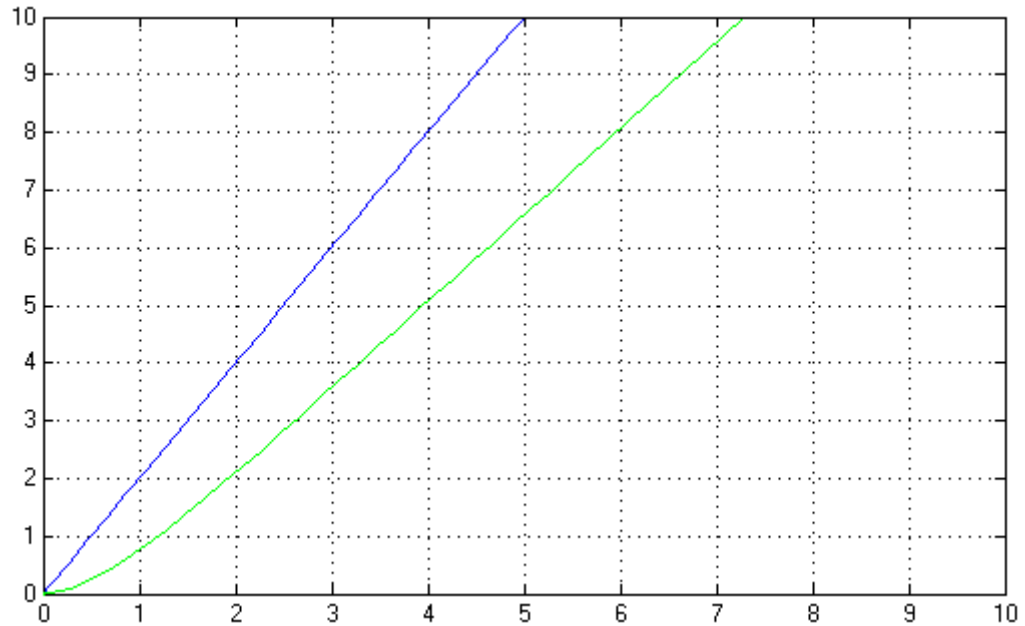


Рис.7 Характеристики системы при $K=1$

При подаче на вход сигнала $g(t) = \frac{at^2}{2}$ значение ошибки останется тем же, что можно проверить по формуле $\varepsilon = \lim_{p \rightarrow 0} p \cdot \frac{1}{1+W(p)} \cdot \frac{V}{p^3}$.

2. Исследование системы с астатизмом первого порядка. $R(p)=K/p$

Получим кривые переходного процесса для трех значений $K(K=1, 5, 10)$ при подаче на вход системы сигнала $g(t)=A$ и определим предельные значения установившейся ошибки.

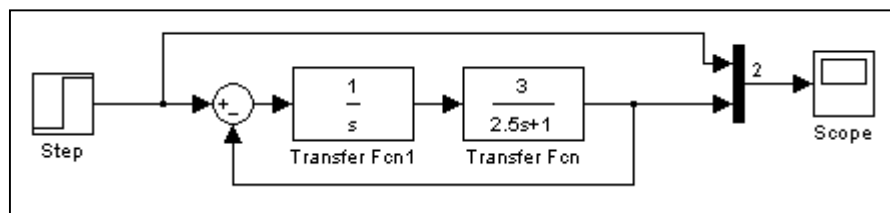
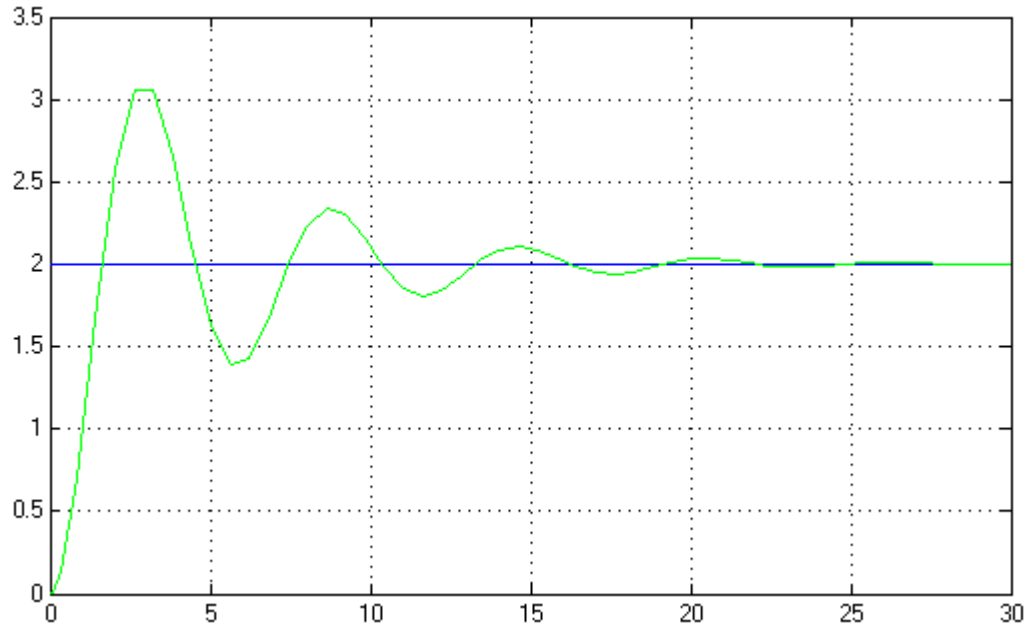
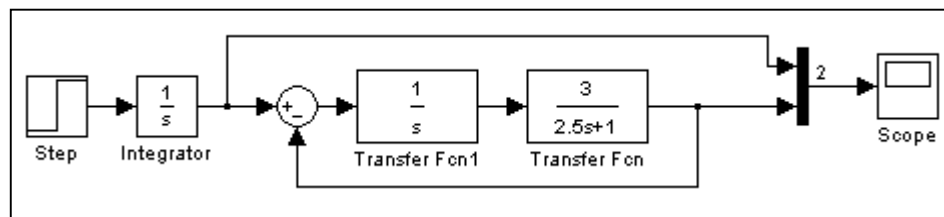


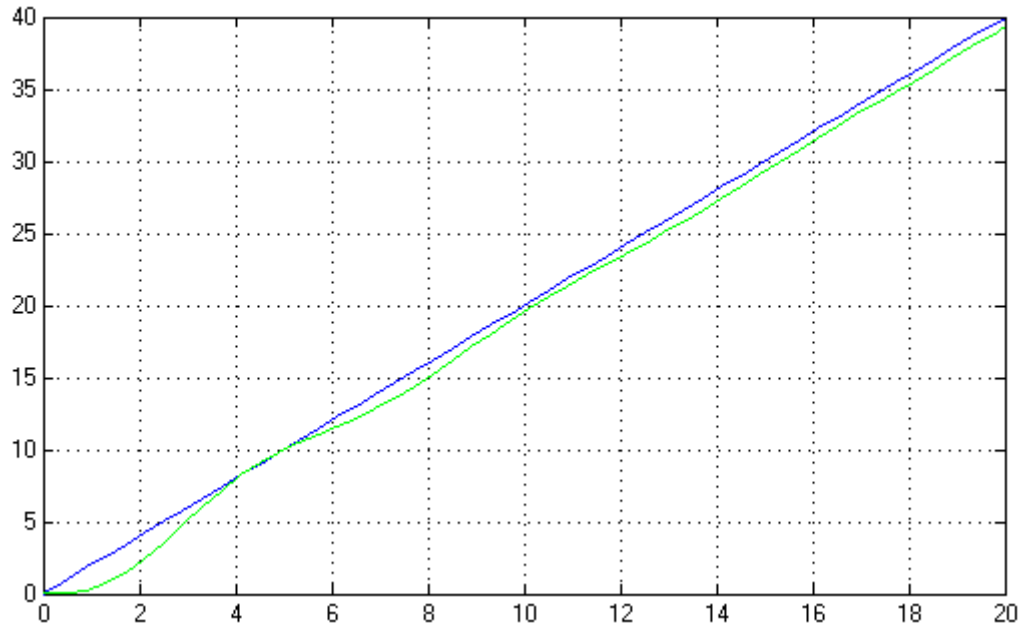
Рис.8 Структурная схема системы с астатизмом первого порядка, задающим воздействием $g=A=2$ и $K=1$

Рис.9 Характеристики системы при $K=1$

$$\left. \begin{array}{l} \text{а) } K=1. \\ \text{б) } K=5. \\ \text{в) } K=10. \end{array} \right\} \varepsilon = \lim_{p \rightarrow 0} p \cdot \frac{1}{1+W(p)} \cdot \frac{A}{p} = \lim_{p \rightarrow 0} \frac{2 \cdot (2,5 \cdot p + 1) \cdot p}{(5,5 \cdot p + 1)} = 0.$$

Получим кривые переходного процесса при подаче на вход системы линейно нарастающего воздействия $g(t) = V \cdot t$. Определим предельные значения установившейся ошибки для коэффициента K .

Рис.10 Структурная схема системы с астатизмом первого порядка и задающим воздействием $g(t) = Vt$

Рис.11 Характеристики системы при $K=1$

а) $K=1$.

Значение ошибки:

- экспериментально: $\varepsilon = 0,7$;

- теоретически: $\varepsilon = \lim_{p \rightarrow 0} p \frac{1}{1 + \frac{W(p)}{P}} \cdot \frac{V}{P^2} = \lim_{p \rightarrow 0} \frac{V(2,5p+1)}{2,5p^2 + p + 3} = \frac{2}{3} = 0,7$;

б) $K=5$.

Значение ошибки:

- экспериментально: $\varepsilon = 0,12$;

- теоретически: $\varepsilon = \lim_{p \rightarrow 0} p \frac{1}{1 + \frac{W(p)}{P}} \cdot \frac{V}{P^2} = \lim_{p \rightarrow 0} \frac{V(2,5p+1)}{2,5p^2 + p + 15} = \frac{2}{15} = 0,12$;

в) $K=10$.

Значение ошибки:

- экспериментально: $\varepsilon = 0,05$;

- теоретически: $\varepsilon = \lim_{p \rightarrow 0} p \frac{1}{1 + \frac{W(p)}{P}} \cdot \frac{V}{P^2} = \lim_{p \rightarrow 0} \frac{V(2,5p+1)}{2,5p^2 + p + 30} = \frac{2}{30} = 0,05$.

Получим кривые переходного процесса при подаче на вход системы квадратично нарастающего воздействия $g(t) = 0,5 \cdot t^2 / 2$.

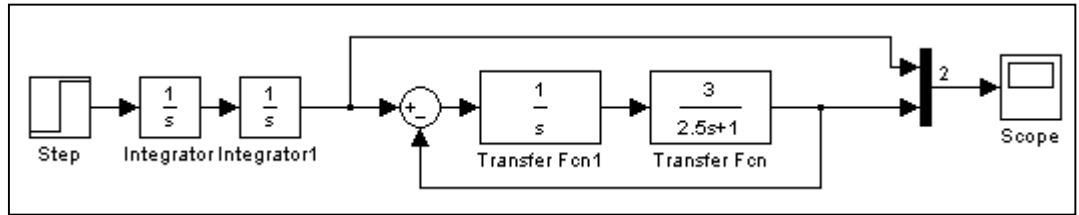


Рис.12 Структурная схема системы с астатизмом первого порядка и задающим воздействием $g(t) = 0,5 \cdot t$.

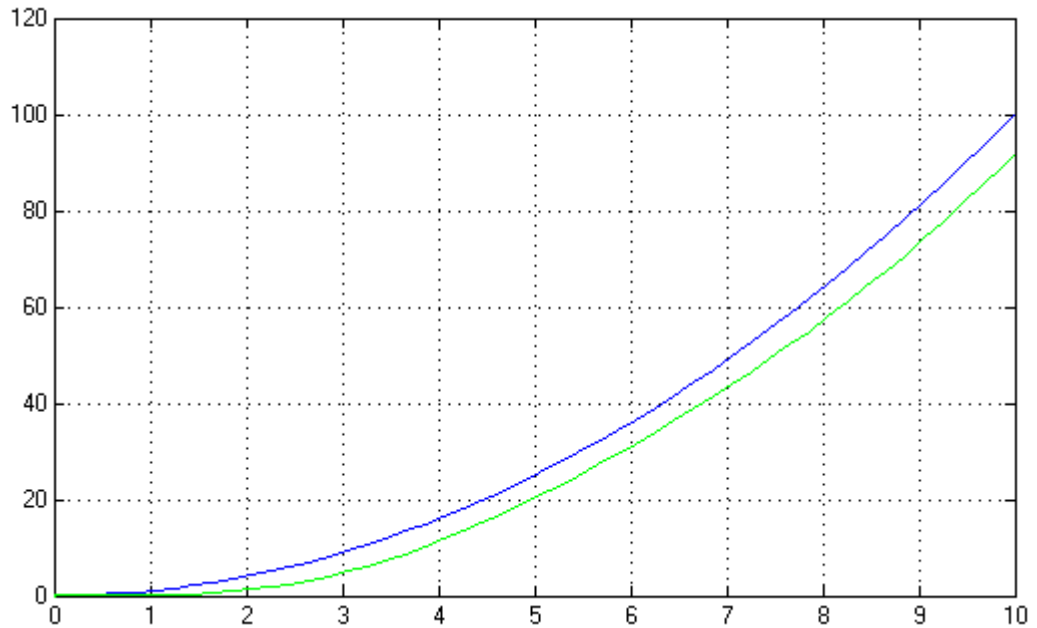


Рис.13 Характеристики системы при $K=1$

$$\left. \begin{array}{l} \text{а) } K=1. \\ \text{б) } K=5. \\ \text{в) } K=10. \end{array} \right\} \varepsilon = \lim_{p \rightarrow 0} p \cdot \frac{1}{1+W(p)} \cdot \frac{V}{p^3} = \infty.$$

3. Исследование влияния внешнего возмущения на систему ($R(p)=K$).

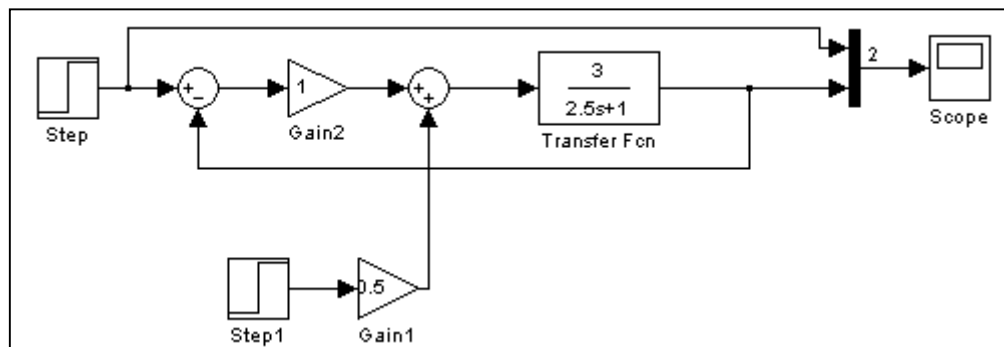
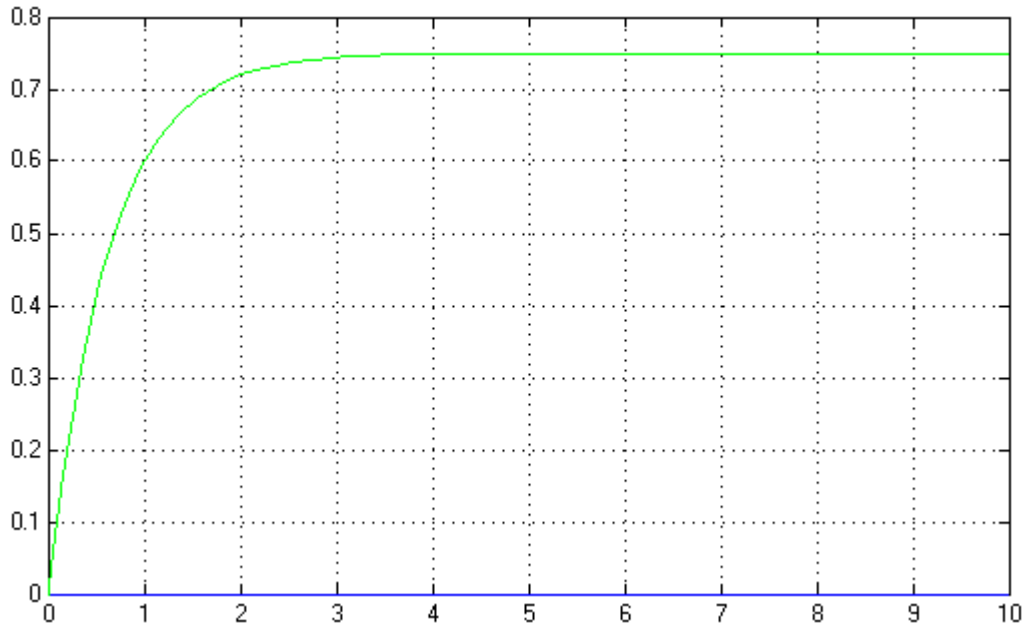


Рис.14 Структурная схема системы с внешним возмущающим воздействием

Рис.15 Характеристики системы при $K=1$

$K=1$.

Значение ошибки:

- экспериментально: $\varepsilon = 0,7$;

$$\text{- теоретически: } \varepsilon = \lim_{p \rightarrow 0} p \cdot \frac{M(p) \cdot W_0(p)}{1 + W(p)} \cdot \frac{f}{p} = \lim_{p \rightarrow 0} \frac{0,5 \cdot 3}{2,5 \cdot p + 4} \cdot 2 = \frac{3}{4} = 0,75 .$$

Получим кривые переходного процесса и определим предельное значение установившейся ошибки при $R(p) = K/p$.

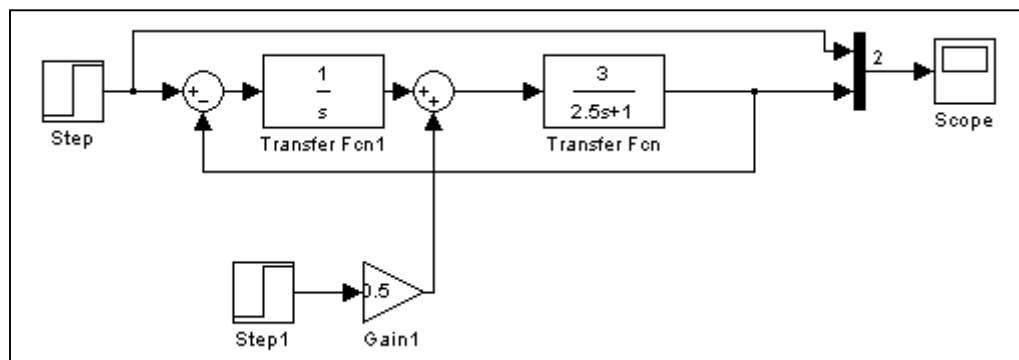


Рис.16 Структурная схема системы с внешним возмущающим воздействием

$K=1$.

Значение ошибки:

- экспериментально: $\varepsilon = 0$;

- теоретически: $\varepsilon = \lim_{p \rightarrow 0} p \cdot \frac{M(p) \cdot W_0(p)}{1 + \frac{W(p)}{p}} \cdot \frac{f}{p} = \lim_{p \rightarrow 0} \frac{0,5 \cdot 3 \cdot p}{(2,5 \cdot p + 4)} \cdot 2 = 0$.

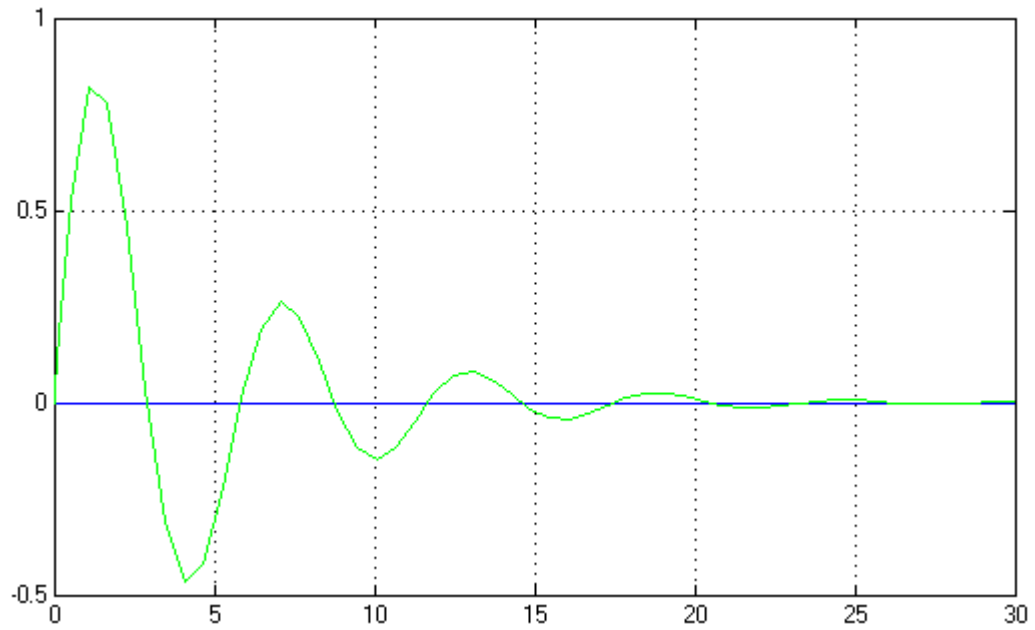


Рис.17 Характеристики системы при $K=1$

ПРОГРАММА РАБОТЫ

1. Исследовать систему с астатизмом нулевого порядка. Структурная схема системы представлена на рис. 18, где $R(p)=K$. Варианты передаточной функции $W_0(p)$ объекта управления и характеристики задающего воздействия $g(t)$ приведены в табл. 3.

1.1. Получить кривые переходного процесса для трех значений K ($K=1, 5, 10$) при подаче на вход системы сигнала $g(t)=A$ и определить предельные значения установившейся ошибки.

1.2. Получить кривые переходного процесса при подаче на вход системы линейно нарастающего воздействия $g(t)=V \cdot t$.

2. Исследовать систему с астатизмом первого порядка. В схеме (см. рис.18) принять $R(p)=K/p$. Варианты передаточной функции $W_0(p)$ даны в табл. 4, а характеристики заданного воздействия $g(t)$ приведены в табл. 3 и 4.

2.1. Получить кривые переходного процесса при подаче на вход системы задающего воздействия $g(t)=A$ (см. табл.3).

2.2. Получить кривые переходного процесса при подаче на вход системы линейно нарастающего воздействия $g(t)=V \cdot t$ (см. табл. 3). Определить предельные значения установившейся ошибки для различных значений коэффициента K ($K=1, 5, 10$).

2.3. Получить кривые переходного процесса при подаче на вход системы квадратично нарастающего воздействия $g(t) = a \cdot t^2 / 2$ (см. табл. 4).

3. Исследовать влияние внешнего возмущения.

3.1. В соответствии с вариантом (см. табл. 5 и рис.19) собрать схему моделирования системы. При этом вид передаточной функции $W_0(p)$ взять из табл. 3.

3.2. Получить кривые переходного процесса и определить предельное значение установившейся ошибки ($g(t) = 0, f(t) = 1(t)$) и $R(p) = K, R(p) = K/p$.

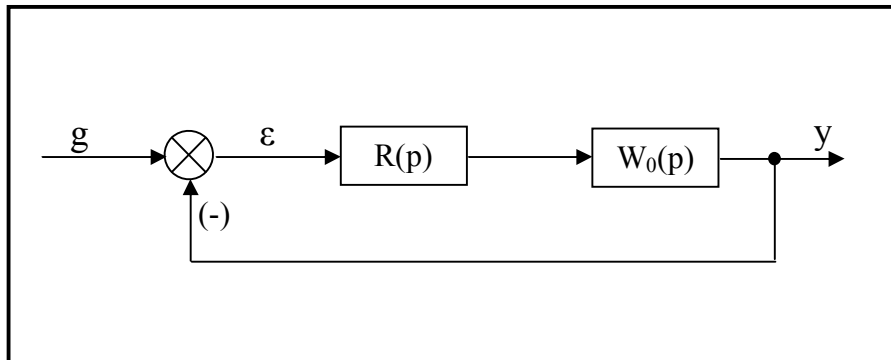
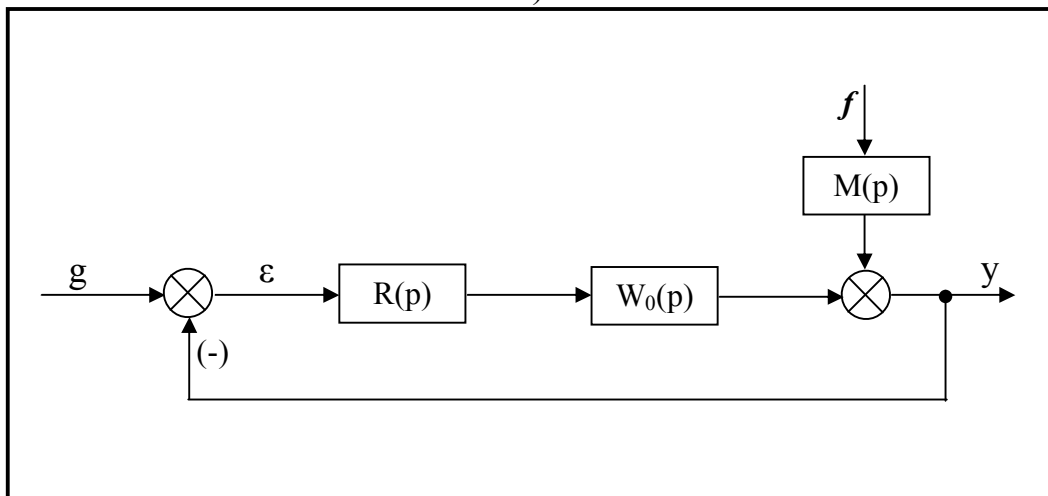


Рис. 18 Структурная схема системы

а)



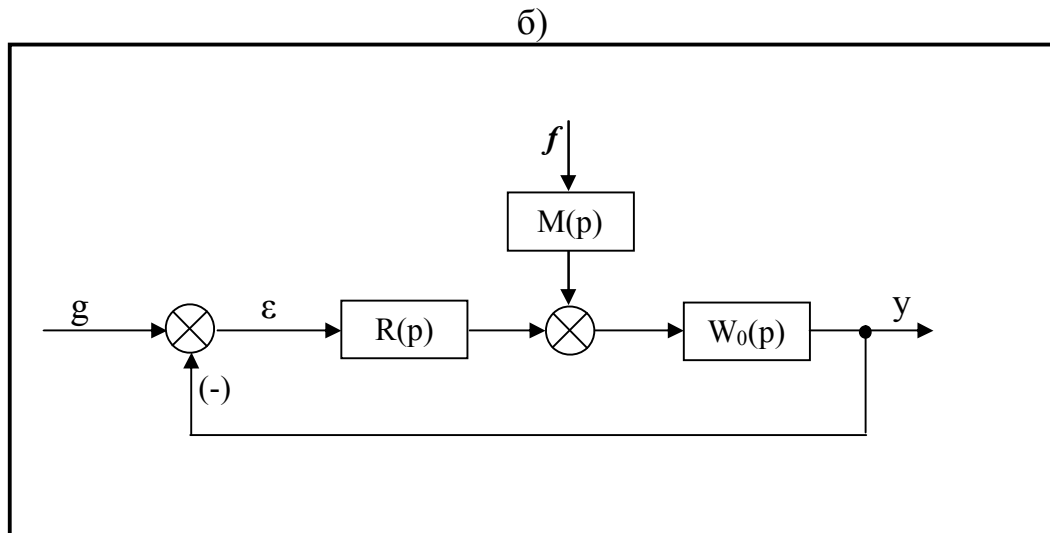


Рис.19 Структурные схемы систем с возмущающим воздействием

Таблица 3

Варианты параметров систем с нулевым порядком астатизма

Вариант	$W_0(p)$	$g=A$	$g=V \cdot t$	Вариант	$W_0(p)$	$g=A$	$g=V \cdot t$
1	$\frac{2}{3p+1}$	1	$0,5t$	6	$\frac{1}{2p^2+3p+1}$	1	$1,5t$
2	$\frac{1,5}{0,5p+1}$	2	$4t$	7	$\frac{2}{0,5p^2+p+2}$	2	$2t$
3	$\frac{1,5}{p^2+2p+1}$	1	t	8	$\frac{8}{0,5p^2+2p+8}$	2	t
4	$\frac{1}{p^2+p+2}$	2	$2t$	9	$\frac{1}{0,5p^2+p+1}$	2	$2t$
5	$\frac{5}{p^2+5p+6}$	1	t	10	$\frac{1}{0,1p^2+0,7p+1}$	4	$2t$

Таблица 4

Варианты параметров астатических систем

Вариант	$W_0(p)$	$g = at^2/2$	Вариант	$W_0(p)$	$g = at^2/2$
1	$\frac{2}{3p+1}$	$0,2t^2$	6	$\frac{p+1}{2p^2+3p+1}$	$0,25t^2$
2	$\frac{1,5}{0,5p}$	$0,2t^2$	7	$\frac{p+2}{0,5p^2+p+2}$	$0,5t^2$
3	$\frac{p+1,5}{p^2+2p+1}$	$0,4t^2$	8	$\frac{1,5p+8}{0,5p^2+2p+8}$	$0,3t^2$
4	$\frac{p+1}{p^2+p+2}$	$0,3t^2$	9	$\frac{p+1}{0,5p^2+p+1}$	$0,45t^2$
5	$\frac{p+5}{p^2+5p+6}$	$0,45t^2$	10	$\frac{p+1}{0,1p^2+0,7p+1}$	$0,4t^2$

Таблица 5

Варианты параметров систем с возмущением											
Вариант	1	2	3	4	5	6	7	8	9	10	11
Схема системы рис.	<i>a</i>	<i>a</i>	<i>б</i>	<i>a</i>	<i>б</i>	<i>a</i>	<i>б</i>	<i>a</i>	<i>б</i>	<i>a</i>	<i>б</i>
M(p)	0,5	1	2	0,5	2	1	2	2	1	0,5	1
f	2	-0,5	1	2	1	1	0,75	-0,75	2	-1	0,5

СОДЕРЖАНИЕ ОТЧЕТА

Отчет должен содержать следующие разделы:

1. Цель работы.
2. Программа работы.
3. Математические модели исследуемых систем и кривые переходных процессов.
4. Графики экспериментально полученных зависимостей предельных значений установившихся ошибок ε в зависимости от коэффициента K .
5. Аналитический расчет установившихся ошибок систем.
6. Выводы.
7. Использованная литература.

ЛИТЕРАТУРА

1. MATLAB 6/6.1/6.5 + Simulink 4/5. Основы применения / Дьяконов В. П. М.: СОЛОН-Пресс, 2004. 768 с. – (Серия «Полное руководство пользователя»).
2. SIMULINK: среда создания инженерных приложений / Под общ. ред. к. т. н. В. Г. Потёмкина. – М.: ДИАЛОГ-МИФИ, 2003.-496 с.
3. Бесекерский В.А., Попов Е.П. Теория линейных систем автоматического регулирования - М.: Наука, 2008.